

## 弾性波探査による地すべり面の推定に関する研究

宮崎大学農学部 谷口義信  
京都大学農学部 佐々恭二

### 1. はじめに

この研究は、1973年12月宮崎大学付属演習林内の小地すべり地で実施した弾性波探査の結果に対し、萩原の式を栗原の式へ拡大適用した筆者らの新しい解析法を実際に適用して、その妥当性について検討し、これによって対策工事等を立てる場合に非常に重要な指針を与えるところの地層断面、すなわち地すべり面の推定を行なうことを試みたものである。

### 2. 調査方法及び調査結果

地すべりを起していると思われる斜面の中腹部と下部に、すべり方向にはほぼ直角となるように長さ120mの測線A、Bをそれぞれ2本設けた。測線の長さを120mとしたのは、斜面下端でのすべり面の幅が約50mで、規模が大きないこと、地形的にみてもこの部分が谷によって比較的はっきりと他の部分と界されていることによるもので、上述の範囲内の地層断面図が描ければ、地すべり面の推定を行なうには十分であろうと判断したためである。pick-upは6m間隔に6個設置しこれを一展開とした。受震計は6打点式のPS-5を用いた。PS-5専用のshot markerは受圧面積が小さいので衝撃時に地面の中には入って、衝撃力が緩和され運動が有効に伝わらない欠点があるので起震器には、30kgの錘のついた貫入試験器を用い、これに、shot markerを直結することにした。

図-1、図-2はその調査結果である。横軸は距離

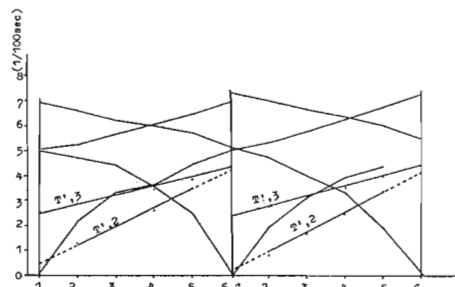


図-1 A測線走時曲線およびT'曲線

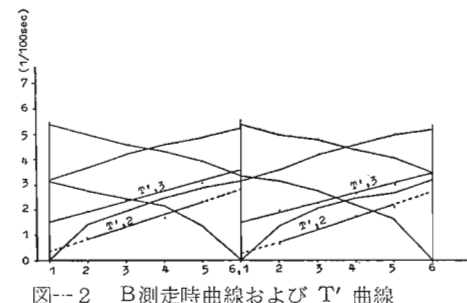


図-2 B測走時曲線およびT'曲線

を表わし、1, 2, 3, ……, 6はpick-up No.を表わし、それぞれの間隔は6mであり、1~6までを1段階として表わしたものである。図-1、図-2の走時曲線原図から $T_{AP}$ ,  $T_{BP}$ ,  $T_{AB}$ ,  $t_0$ を求め、その結果得られた第2層、第3層の $T'$ 曲線も同じく両図の中に描いてある。 $T', 2$ が第2層の $T'$ 曲線を表わし、 $T', 3$ が第3層の $T'$ 曲線を表わす。 $T'$ 曲線を用いて、A測線、B測線の地層構造断面図を描いたものが図-3、図-4である。これらの曲線から、A測線、B

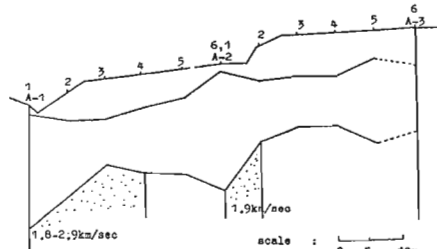


図-3 A測線地層構造断面図

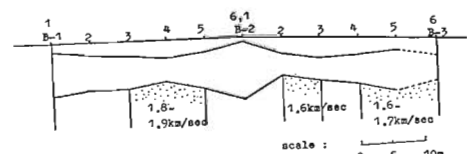


図-4 B測線地層構造断面図

測線の第1層、第2層、第3層の弾性波速度を求めるにA測線については、第1層、第2層、第3層の平均的な速度をそれぞれ $v_1$ ,  $v_2$ ,  $v_3$ とすれば、 $v_1=0.42$

km/sec,  $v_2=0.76\text{ km/sec}$ ,  $v_3=1.59\text{ km/sec}$ , B測線について、 $v_1=0.41\text{ km/sec}$ ,  $v_2=1.30\text{ km/sec}$ ,  $v_3=1.59\text{ km/sec}$ となる。

### 3. 考 察

$T'$  曲線から得られた  $v_1$ ,  $v_2$ ,  $v_3$  の値を用いて、 $\cos\theta_{12}=1$  することによる第2層目の厚さ  $h_{2P}$  の誤差を検討してみる。A測線の場合、 $v_1:v_3=1:3.79$  で、 $\cos\theta_{12}=0.96$  となるから、この場合の  $h_{2P}$  の誤差は約 4% に過ぎない。B測点の場合  $v_1:v_3=1:3.88$  で、 $\cos\theta_{12}\approx0.97$  であるから、この場合の  $h_{2P}$  の誤差はさらに小さく約 3% に過ぎない。以上の結果からも第2層の厚さを求める式として、 $h_{2P}=\frac{v_2}{\cos\theta_2}\left(\frac{1}{2}t_o-\frac{h_{1P}}{v_1}\right)$  が十分適用できることがわかる。

$\cos\omega_2=1$  とすることによる  $h_{2P}$  の誤差について検討してみる。A測線の場合、 $\frac{v_2}{v_3}=\frac{1}{2.09}$  であるから、もし  $\omega_2=30^\circ$  であったものを  $\cos\omega_2=1$  として計算した場合には誤差は約 4% となり、 $\omega_2=45^\circ$  であったものを  $\cos\omega_2=1$  とした場合の誤差は約 7% となる。B測線の場合、 $\frac{v_2}{v_3}=\frac{1}{1.22}$  であるから、 $\omega_2=30^\circ$  であるとするならば、この場合の誤差は約 23% となり、 $\omega_2=45^\circ$  であるとするならば、この場合の誤差は約 42% となり、いずれもかなり大きくなる。しかし  $\omega_2=45^\circ$  となるのは局部的なところを除くと非常に少ないと考えられるので、実際は  $v_3$  と  $v_2$  の差が少ないとしても、誤差は 20% より多くなることはないものと考えられ

る。B測線の場合でも  $\omega_2=20^\circ$  とすれば誤差は 6% 以内となる。

図-3, 図-4 からみると、A測線の場合、第3層までの深度は 15~20m で深いが、B測線の場合は 7~10m で浅い。これは B測線が地すべり地の下端に近いためである。地すべりを起しているのは第3層から上の土層であると考えられる。第3層の平面的な関係については、地形図と合せて検討しなければならないが A測線左端の速度が 1.8~2.9km/sec の硬い層は B測線の 1.8~1.9km/sec の硬い層につながっているものと考えられる。A測線の 1.9km/sec の硬い層は B測線の右の部分の 1.6km/sec, 1.6~1.7km/sec の硬い層につながっているものと考えられる。A-2, B-2 のところでいずれも第3層までの深度が大きくなっているが、これを結ぶ線がすべり方向と考えられる。このことは、実際のすべりが A-2, B-2 を結ぶ線を中心として起っていることからも裏づけられる。

以上  $h_{2P}$  の値について実際のデーターをもって若干の検討を加え、地層断面図からすべり面の推定と、すべり方向について考えてみたが、以上の解析法が地層傾斜を一様としない地層構造の走時曲線解析に十分適用できることがわかったので、今後は破碎帶地すべり、第3紀層地すべりの調査も行ない、それらの機構を解明したいと考えている。なお、すべり面の詳細な追跡には、さらに縦断方向の地層断面図も必要があるので、それについても調査したいと考えている。